

Tariq AL AZAB, Jerzy MARYNIAK  
Instytut Techniki Lotniczej i Mechaniki Stosowanej  
Politechnika Warszawska

### MODELOWANIE I SYMULACJA NUMERYCZNA STEROWANEJ AUTOMATYCZNIE RAKIETY NAPROWADZAJĄCEJ SIĘ NA MANEWRUJĄCY CEL

**Streszczenie.** W pracy przedstawiono model matematyczny otrzymany z równań Boltzmana-Hamela dla układów o więzach nieholonomicznych. Prawa sterowania w kanałach pochylania i odchyłania potraktowane są jako więzy nieholonomiczne. Przykładową symulację przeprowadzono dla rakiety klasy „Sidewinder”, odpalanej z samolotu w kierunku manewrującego celu. Uzyskano bardzo dobre wyniki symulacji - rakieta osiąga cel przy różnych warunkach początkowych startu.

### MODELLING AND NUMERICAL SIMULATION OF A MISSILE GUIDED INTO THE MANOEUVERING TARGET

**Summary.** A mathematical model derived from the Boltzman-Hamel equations for the system with non-holonomic constraints has been presented in the paper. Guidance laws operating in yawing and pitching channels, respectively, have been assumed to create the non-holonomic constraints. The exemplary simulation was carried out using the model of "Sidewinder" missile fired from the plane into a maneuvering target. Very promising reliable results of simulation have been obtained since the missile kept reaching the target despite of the form of initial take-off conditions.

### МОДЕЛИРОВАНИЕ И НУМЕРИЧЕСКАЯ СИМУЛЯЦИЯ УПРАВЛЯЕМОЙ АВТОМАТИЧЕСКИ РАКЕТЫ НОВОДЯЩУЮСЯ НА МАНЕВРЕННЫЙ ЦЕЛЬ

**Резюме.** В работе представлено математическую модель полученную с уравнений Больцмана-Хамеля для соединений о неholономических узлах. Пример симуляции проведено для ракеты "Sidewinder" выпускаемой в направленный цель. Получено хорошие результаты симуляции для начальных условий старта.

## 1. WSTĘP

W pracy przyjęto model fizyczny następującej postaci:

- rakieta traktowana jest jako układ mechaniczny, sztywny, o sześciu stopniach swobody,
- przyjęto, że nie występują żadne ruchy mas powietrza względem Ziemi,
- pominięto wpływ krzywizny Ziemi,
- rakieta jest traktowana jako obiekt sterowany.

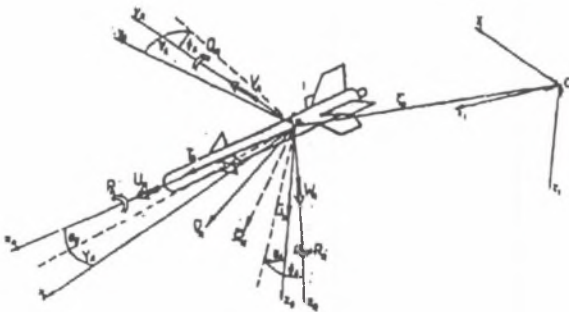
## 2. PRZYJĘTE UKŁADY ODNIESIENIA

Ruch rakiety jest opisany za pomocą współrzędnych i czasu w przestrzeni zdarzeń, w której położenie rakiety jest jednoznacznie wyznaczone wyłącznie współrzędnymi kątowymi i liniowymi (jest to przestrzeń konfiguracji).

Do opisu dynamiki obiektu ruchomego, jakim jest rakieta, niezbędne są następujące układy odniesienia:

- nieruchomy układ grawitacyjny związany z Ziemią  $0_1x_1y_1z_1$  (rys.1),
- układ grawitacyjny  $0_gx_gy_gz_g$  związany z poruszającą się rakieta, zawsze równoległy do układu nieruchomego  $0_1x_1y_1z_1$  (rys.1),
- układ  $0xyz$  związany sztywno z poruszającą się rakieta, posiadający początek w punkcie rys.1, którego oś  $Ox$  jest równoległa do średniej cięciwy aerodynamicznej,
- układ prędkościowy  $0_vx_vy_vz_v$  związany z kierunkiem przepływu ośrodka omywającego rakieta, oś  $Ox_v$  posiada kierunek prędkości opływu a zwrot przeciwny.

Wszystkie podstawowe układy odniesienia stosowane przy opisie matematycznym są układami prawoskrętnymi.



Rys.1. Przyjęte układy odniesienia, współrzędne oraz prędkości liniowe i kątowe  
Fig. 1. Assumed reference systems, coordinates, linear and angular velocities

Składowe wektorów chwilowej prędkości liniowej  $\vec{V}_0$  i kątowej  $\vec{\Omega}$  w układzie odniesienia  $0xyz$  związanym z rakieta (rys.1) są następujące:

- wektor chwilowej prędkości liniowej  $\vec{V}_0$ :

$$\vec{V}_0 = U\vec{i} + V\vec{j} + W\vec{k},$$

(1)

gdzie:

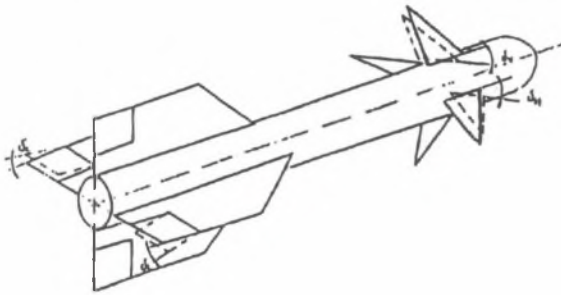
- U - prędkość podłużna,
- V - prędkość boczna,
- W - prędkość pionowa,

- wektor chwilowej prędkości kątowej:

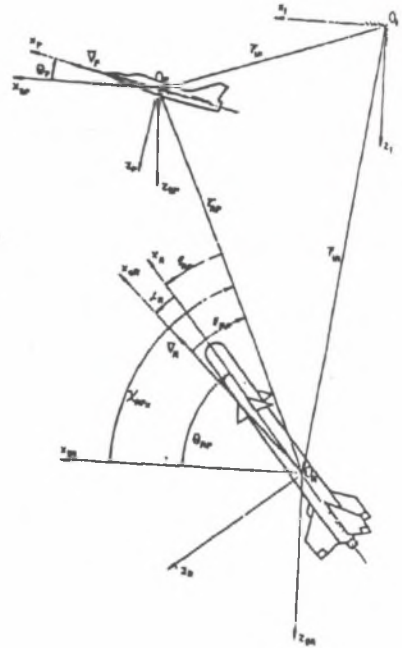
$$\vec{\Omega} = P\vec{i} + Q\vec{j} + R\vec{k}, \quad (2)$$

gdzie:

- P - prędkość kątowna przechylenia,
- Q - prędkość kątowna pochylania,
- R - prędkość kątowna odchylenia.



Rys.2. Wychylenia sterów wysokości, kierunku i lotek  
Fig. 2. Elevator rudder and aileron displacements



Rys.3. Naprowadzanie rakiety na cel  
Fig. 3. Aiming of the rocket at a target

### 3. PRAWA STEROWANIA

Rakieta jest automatycznie sterowana przez autopilota, który jest zamontowany w głowicy rakiety. Sterowanie automatyczne odbywa się w dwóch kanałach (rys.2):

- pochylania  $\Theta$  -przez wychylenie steru wysokości  $\delta_H$ ,
- odchylenia  $\Psi$  -przez wychylenie steru kierunku  $\delta_V$ ,

zaś w kanale przechylenia  $\Phi$  stabilizacja zapewniona jest dzięki wychylaniu samoczynnym girolotek  $\delta_L$ .

Prawa sterowania w postaci ogólnej [1,2,3,5,6]:

- w kanale pochylania  $\Theta$  (rys.2):

$$T_1 \dot{\delta}_H + T_H \delta_H = K_\Theta^H (\Theta - \Theta_z) + K_Q^H (Q - Q_z) + K_W^H (W - W_z) + K_x^H (x_g - x_{gz}) + K_z^H (z_R - z_{Rz}) + K_u^H (U - U_z) + \delta_{H0} \quad (3)$$

- w kanale odchylenia  $\Psi$ :

$$T_2 \dot{\delta}_v + T_v \delta_v = K_\Psi^V (\Psi - \Psi_z) + K_r^V (R - R_z) + K_w^V (W - W_z) + K_y^V (y_g - y_{gz}) + K_v^V (V - V_z) + \delta_{v0} \quad (4)$$

gdzie:

$$\left. \begin{array}{l} T_1, T_2, T_H, T_v \\ K_\Theta^H, K_Q^H, K_W^H, K_x^H, K_z^H, K_u^H \\ K_r^V, K_y^V, K_w^V, K_\Psi^V, K_v^V \end{array} \right\} \begin{array}{l} \text{- stałe czasowe,} \\ \text{- współczynniki wzmocnienia.} \end{array}$$

#### 4. OGÓLNE RÓWNANIA RUCHU RAKIETY STEROWANEJ WYPROWADZONE PRZY ZASTOSOWANIU RÓWNAŃ BOLTZMANN-HAMELA DLA UKŁADÓW MECHANICZNYCH O WIĘZACH NIEHOLONOMICZNYCH

Stosując równania Boltzmann-Hamela dla układów mechanicznych o więzach nieholonomicznych w postaci [2,3,5,6]:

$$\frac{d}{dt} \frac{\partial T}{\partial \omega_\mu} - \frac{\partial T}{\partial \pi_\mu} + \sum_{r=1}^k \sum_{\alpha=1}^k \gamma_{\mu\alpha}^r \frac{\partial T}{\partial \omega_r} \omega_\alpha = Q_\mu^* \quad (5)$$

gdzie:

- $\alpha, \mu, r = 1, 2, \dots, k$        $k$  - liczba stopni swobody,  
 $\omega_\mu$  - quasi-prędkości,  
 $T^*$  - energia kinetyczna w quasi-prędkościach,  
 $\pi_\mu$  - quasi-współrzędne,  
 $Q_\mu^*$  - siły uogólnione,  
 $\gamma_{\alpha\mu}^r$  - trójwskaźnikowe mnożniki Boltzmann określone następującą zależnością:

$$\gamma_{\alpha\mu}^r = \sum_{\delta=1}^k \sum_{\lambda=1}^k \left( \frac{\partial a_{r\delta}}{\partial q_\lambda} - \frac{\partial a_{r\lambda}}{\partial q_\delta} \right) b_{\delta\mu} b_{\lambda\alpha} \quad (6)$$

Po przekształceniu równania (5) i obliczeniu  $\gamma_{\alpha\mu}^r$  trójwskaźnikowych mnożników Boltzmann oraz [2,3] i wyznaczeniu równań prawostronnych otrzymamy układ równań w postaci ogólnej w następującej formie [1,2,3,5,6]:

- równanie ruchów podłużnych

$$\begin{aligned} \frac{d}{dt} \left( \frac{\partial T^*}{\partial U} \right) - \left( \frac{\partial T^*}{\partial x} a_{11} + \frac{\partial T^*}{\partial v} a_{12} + \frac{\partial T^*}{\partial z} a_{13} + \frac{\partial T^*}{\partial \delta_H} \frac{k_w^H}{T_1} \right) - \frac{\partial T^*}{\partial V} R + \frac{\partial T^*}{\partial W} Q + \\ + \left( -k_x^H a_{11} - k_z^H a_{13} + \frac{k_u^H}{T_1} + k_w^H Q \right) \frac{\partial T^*}{\partial \omega_7} + \left( k_w^V Q - k_r^V R + k_y^V a_{12} \right) \frac{\partial T^*}{\partial \omega_8} = \\ -mg \sin \Theta + T - \frac{1}{2} \rho S V_0^2 (C_x \cos \beta \cos \alpha + C_y \sin \beta \cos \alpha - C_z \sin \alpha), \end{aligned} \quad (7)$$

- równanie ruchów bocznych

$$\begin{aligned} & \frac{d}{dt} \left( \frac{\partial T^*}{\partial V} \right) - \left( \frac{\partial T^*}{\partial x_g} a_{21} + \frac{\partial T^*}{\partial y_g} a_{22} + \frac{\partial T^*}{\partial z_g} a_{23} + \frac{\partial T^*}{\partial \delta_v} \frac{k_v^y}{T_1} \right) + \frac{\partial T^*}{\partial U} R - \frac{\partial T^*}{\partial W} P + \\ & + \left( -k_x^H a_{21} - k_x^H a_{23} - k_w^H P + k_w^H R \right) \frac{\partial T^*}{\partial \omega_7} + \left( -k_v^y P + \frac{k_v^y}{T_2} - k_v^y a_{22} \right) \frac{\partial T^*}{\partial \omega_8} = \\ & mg \cos \Theta \sin \Phi + \frac{1}{2} \rho S V_0^2 (C_x \sin \beta + C_y \cos \beta) + Y_P P + Y_R R + Y_{\delta_v} \delta_v, \end{aligned} \quad (8)$$

- równanie ruchów wznoszących

$$\begin{aligned} & \frac{d}{dt} \left( \frac{\partial T^*}{\partial W} \right) - \left( \frac{\partial T^*}{\partial x_g} a_{31} + \frac{\partial T^*}{\partial y_g} a_{32} + \frac{\partial T^*}{\partial z_g} a_{33} + \frac{\partial T^*}{\partial \delta_H} \frac{k_w^H}{T_1} + \frac{\partial T^*}{\partial \delta_v} \frac{k_w^y}{T_2} \right) + \frac{\partial T^*}{\partial V} P + \\ & - \frac{\partial T^*}{\partial U} Q + \left( -k_x^H a_{31} - k_x^H a_{33} + \frac{k_w^H}{T_1} - k_w^H Q + \frac{k_w^H}{T_1} \right) \frac{\partial T^*}{\partial \omega_7} + \left( \frac{k_w^y}{T_2} + k_v^y P - k_v^y a_{32} \right) \frac{\partial T^*}{\partial \omega_8} = \\ & mg \cos \Theta \cos \Phi - \frac{1}{2} \rho S V_0^2 (C_x \cos \beta \sin \alpha + C_y \sin \beta \sin \alpha + C_z \cos \alpha) + Z_Q Q + Z_{\delta_H} \delta_H, \end{aligned} \quad (9)$$

- równanie ruchów przechyłających

$$\begin{aligned} & \frac{d}{dt} \left( \frac{\partial T^*}{\partial P} \right) - \left( \frac{\partial T^*}{\partial \Phi} \right) + \frac{\partial T^*}{\partial W} V - \frac{\partial T^*}{\partial V} W + \frac{\partial T^*}{\partial R} Q - \frac{\partial T^*}{\partial Q} R + \\ & + \left( -k_q^H R + k_w^H V \right) \frac{\partial T^*}{\partial \omega_7} + \left( -k_w^y V - k_v^y W + k_r^y Q \right) \frac{\partial T^*}{\partial \omega_8} = \\ & \frac{1}{2} \rho S V_0^2 (-C_{m_x} \cos \beta \cos \alpha - C_{m_y} \sin \beta \cos \alpha + C_{m_z} \sin \alpha) + \\ & + L_P P + L_R R + L_{\delta_L} \delta_L, \end{aligned} \quad (10)$$

- równanie ruchów pochyłających

$$\begin{aligned} & \frac{d}{dt} \left( \frac{\partial T^*}{\partial Q} \right) - \left( \frac{\partial T^*}{\partial \Phi} \sin \Phi g \Theta + \frac{\partial T^*}{\partial \Theta} \cos \Phi + \frac{\partial T^*}{\partial \Psi} \frac{\sin \Phi}{\cos \Theta} + \frac{\partial T^*}{\partial \delta_H} \frac{k_q^H}{T_1} \right) + \frac{\partial T^*}{\partial U} W + \\ & + \frac{\partial T^*}{\partial P} R - \frac{\partial T^*}{\partial R} P - \frac{\partial T^*}{\partial W} U + \left( k_w^H W - k_w^H U - k_q^H \cos \Phi + \frac{k_r^y}{T_1} \right) \frac{\partial T^*}{\partial \omega_7} + \\ & + \left( -k_w^y U - k_r^y P - k_v^y \frac{\sin \Phi}{\cos \Theta} \right) \frac{\partial T^*}{\partial \omega_8} = -mg x_c \cos \Theta \cos \Phi + \\ & + \frac{1}{2} \rho S V_0^2 [x_c (C_x \cos \beta \sin \alpha + C_y \sin \beta \sin \alpha + C_z \cos \alpha) + \\ & + L (C_{m_x} \sin \beta + C_{m_y} \cos \beta)] + M_Q Q + M_{\delta_H} \delta_H, \end{aligned} \quad (11)$$

- równanie ruchów odchylających

$$\begin{aligned} & \frac{d}{dt} \left( \frac{\partial T^*}{\partial R} \right) - \left( \frac{\partial T^*}{\partial \Phi} \sin \Phi g \Theta + \frac{\partial T^*}{\partial \Theta} \sin \Phi + \frac{\partial T^*}{\partial \Psi} \frac{\sin \Phi}{\cos \Theta} + \frac{\partial T^*}{\partial \delta_v} \frac{k_r^y}{T_1} \right) - \frac{\partial T^*}{\partial U} V + \\ & - \frac{\partial T^*}{\partial P} Q + \frac{\partial T^*}{\partial Q} P + \frac{\partial T^*}{\partial V} U + \left( -k_w^H V - k_v^H V + k_q^H \sin \Phi \right) \frac{\partial T^*}{\partial \omega_7} + \\ & + \left( k_v^y U + \frac{k_r^y}{T_2} - k_w^y \frac{\sin \Phi}{\cos \Theta} \right) \frac{\partial T^*}{\partial \omega_8} = mg x_c \cos \Theta \sin \Phi + \\ & + \frac{1}{2} \rho S V_0^2 [x_c (C_x \sin \beta + C_y \cos \beta) - L (C_{m_x} \cos \beta \sin \alpha + C_{m_y} \sin \beta \cos \alpha + \\ & + C_{m_z} \cos \alpha)] + N_P P + N_R R + N_{\delta_v} \delta_v. \end{aligned} \quad (12)$$

Układ równań 7÷12 oraz równania (3), (4) stanowią ogólny model matematyczny lotu rakiety sterowanej. W układzie równań widać wyraźnie sprzężenia pochodzące od praw sterowania i od związków kinematycznych.

## 5. SYMULACJA NUMERYCZNA I WYNIKI

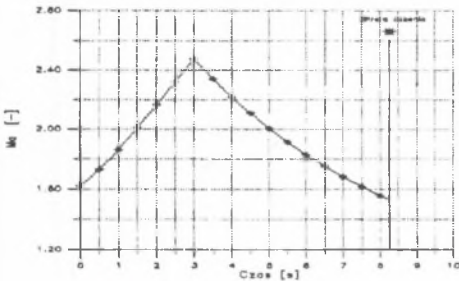
Program symulacji numerycznej ruchu rakiety napisano w języku Fortran dla rakiety klasy "Sidewinder". Po dobraniu współczynników wzmocnienia w prawach sterowania wykonano wiele obliczeń symulacyjnych przy różnych warunkach początkowych startu rakiety i dla różnych ruchomych celów, w różnych konfiguracjach.

Przedstawiono wyniki symulacji numerycznej (rys. 4÷8) naprowadzania rakiety na manewrujący cel (rys.3), gdzie prędkość celu wynosi  $Ma = 1.4$  na wysokości 4000m. Na rys.4 pokazano przebieg liczby Macha w czasie - po 3 [s] liczba  $Ma$  maleje, ponieważ rakieta klasy "Sidewinder" ma jeden silnik, którego praca trwa 3 [s].

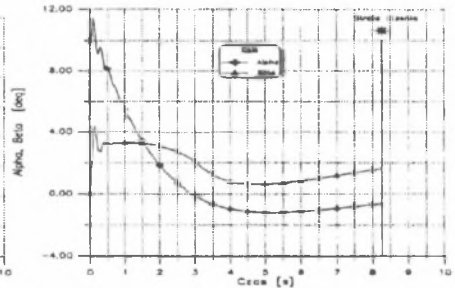
Pokazano przebiegi kąta natarcia i ślizgu rakiety w czasie (rys. 5), a na rys.6 prędkości kąto- wych: pochylania  $\Theta$  i odchylenia  $\Psi$  oraz kąty wychylenia sterów: wysokości  $\delta_H$  i kierunku  $\delta_V$  w czasie.

Rysunek 8 przedstawia przebiegi zmian w czasie: wysokości lotu rakiety i celu, odległości rakieta-cel w osiach X, Y, Z, odległość zbliżania  $R_r$  rakiety do celu i strefy rażenia.

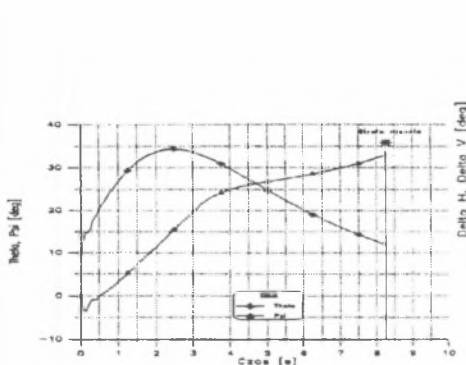
Rakieta osiąga strefę rażenia celu w czasie 8.5 [s]. Takie wyniki symulacji oceniono bardzo wysoko.



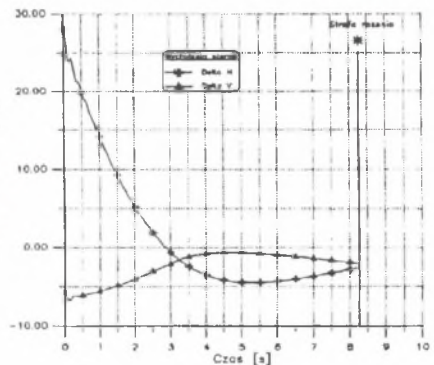
Rys. 4. Liczba Macha  $Ma = f(t)$   
Fig. 4. Mach number  $Ma = f(t)$



Rys. 5. Kąty natarcia i ślizgu  $\alpha, \beta = f(t)$   
Fig. 5. Angle of attack and slip angle  $\alpha, \beta = f(t)$



Rys. 6. Kąt pochylenia  $\Theta$  i kąt odchylenia  $\Psi = f(t)$   
Fig. 6. Angle of pitch  $\Theta$  and angle yaw  $\Psi = f(t)$



Rys. 7. Kąty wychylenia sterów wysokości i kierunku  $\delta_H, \delta_V = f(t)$   
Fig. 7. Elevator angle and rudder angle  $\delta_H, \delta_V = f(t)$

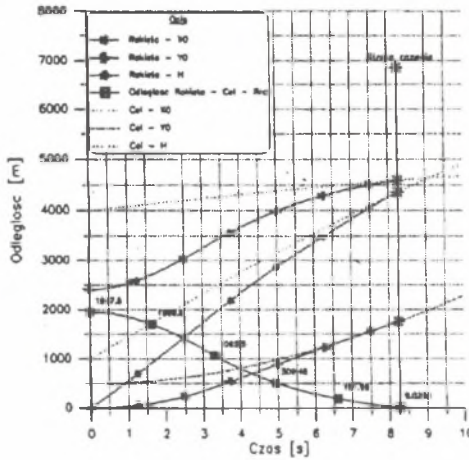
Rys. 8. Położenia w przestrzeni rakiety i celu -  $R_{rc}, X, Y, Z = f(t)$ 

Fig. 8. In space position of a rocket and of a target

## LITERATURA

- [1] AlAzab T.: *Modelowanie i identyfikacja parametrów lotu samolotu pasażerskiego IL-62M z uwzględnieniem systemu automatycznego sterowania w kanale pochylenia*. Praca magisterska (promotor J. Maryniak). ITLiMS Politechnika Warszawska, 1992 (nie publikowana)
- [2] AlAzab T.: *Dynamika rakiety samonaprowadzającej się na ruchomy cel z wykorzystaniem praw sterowania jako więzów nieholonomicznych*. Rozprawa doktorska, (promotor J. Maryniak). ITLiMS Politechnika Warszawska (nie publikowana) 1994
- [3] AlAzab T., Maryniak J.: *Zastosowanie praw sterowania jako więzów nieholonomicznych w dynamice lotu samonaprowadzającej się rakiety na samolot-cel*. ML-VI. Mechanika w Lotnictwie. Warszawa 1994
- [4] Głapski M.: *Możliwości i ograniczenia proporcjonalnego samonaprowadzania rakiet powietrze-powietrze*. WAT, Warszawa 1985
- [5] Maryniak J.: *Dynamiczna teoria obiektów ruchomych*. Warszawa 1975.
- [6] Maryniak J.: *Modelowanie odpalenia i lotu rakiety klasy powietrze-powietrze*. V Ogólnopolska Konferencja „Mechanika w lotnictwie”, 1992, ss.560+613.

Recenzent: prof. dr hab. inż. E Świtoński

Wpłynęło do Redakcji w grudniu 1994 r.